

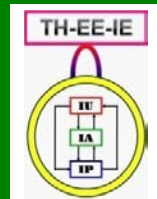
图象工程（上）

# 图 象 处 理

（第3版）

章毓晋

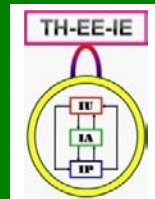
清华大学电子工程系 100084 北京



# 第4单元 拓展技术

- 第11章 图象水印
- 第12章 彩色图象处理
- 第13章 视频图象处理
- 第14章 多尺度图象处理

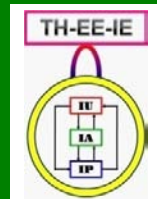
对图象的研究和应用一直是一个活跃的领域，新的理论、新的方法不断涌现，新的技术、新的手段也在不断拓展。基于前三个单元介绍的图象处理技术，进一步拓展。



# 第13章 视频图象处理

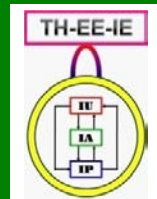
视频一般代表一类彩色序列图象，它描述了在一段时间内3-D景物投影到2-D图象平面且由3个分离的传感器获得的场景辐射强度

视频可看作是对（静止）图象的扩展。除了原来图象的一些概念和定义仍然保留外，为表示视频还需要一些新的概念和定义。视频相对图象最明显的一个区别就是含有场景中的运动信息，这也是使用视频的一个主要目的。针对含有运动信息的视频的特点，原来的图象处理技术也需要相应的推广



# 第13章 视频图象处理

- 13.1 视频表达和格式
- 13.2 运动分类和表达
- 13.3 运动检测
- 13.4 视频滤波
- 13.5 视频预测编码

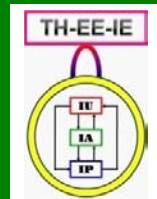


# 13.1 视频表达和格式

{要讨论视频图象处理，首先要讨论视频的表达或表达，以及视频的格式和显示等}

13.1.1 视频基础

13.1.2 彩色电视制式



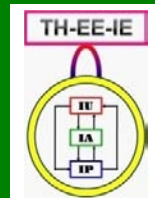
# 13.1.1 视频基础

## 1. 视频表达函数

函数 $f(x, y, t)$ 描述了在时间 $t$ 投影到图象平面 $XY$ 的3-D景物的某种性质

对彩色图象用函数 $f(x, y)$ 来表示，则考虑视频灰度到彩色的扩展，视频可用函数 $f(x, y, t)$ 来表示

彩色视频都应该由3个函数（它们组成一个矢量函数）来表示，每个函数描述一个彩色分量。这种格式的视频称之为分量视频。复合视频格式中的3个彩色信号被复用成一个单独的信号



# 13.1.1 视频基础

## 2. 视频彩色模型

$Y C_B C_R$ 模型:  $Y$ 代表亮度分量

$$Y = rR + gG + bB$$

色度分量 $C_B$ 表示蓝色部分与亮度值的差, 而色度分量 $C_R$ 表示红色部分与亮度值的差

$$\begin{aligned} C_B &= B - Y \\ C_R &= R - Y \end{aligned}$$

$$\begin{bmatrix} R \\ G \\ B \end{bmatrix} = \begin{bmatrix} 1.0 & -0.00001 & 1.40200 \\ 1.0 & -0.34413 & -0.71414 \\ 1.0 & 1.77200 & 0.00004 \end{bmatrix} \begin{bmatrix} Y \\ C_B \\ C_R \end{bmatrix}$$

# 13.1.1 视频基础

## 3. 视频空间采样率

对亮度分量 $Y$ 的采样率

4 : 4 : 4格式，即对亮度分量 $Y$ 的采样率与对色度分量 $C_B$ 和 $C_R$ 的采样率相同

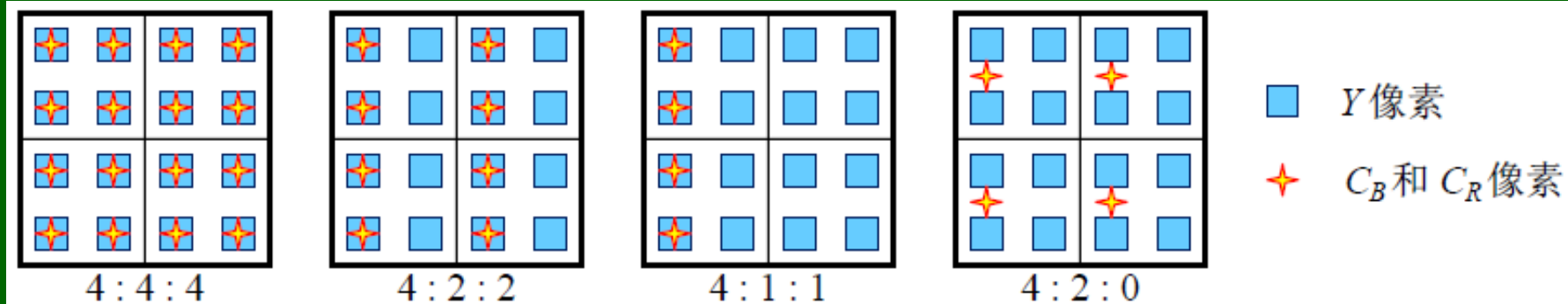
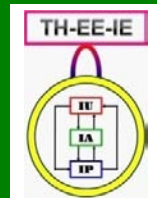


图 13.1.1 4 种采样格式 (两个相邻行属于两个不同的场) 示例



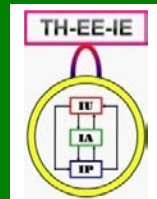
# 13.1.1 视频基础

## 4. 视频显示

显示器的宽高比主要有4:3和16:9两种  
逐行扫描以帧为单位

隔行扫描以场为单位（一帧分为两场：顶场包含所有奇数行，底场包含所有偶数行）

视频在显示时还需要有一定的帧率，即相邻两帧出现的频率。根据人眼的视觉暂留特性，帧率需要高于25帧/秒，低了会出现闪烁和不连续



# 13.1.1 视频基础

## 5. 视频码率

视频的数据量由视频的时间分辨率、空间分辨率和幅度分辨率共同决定

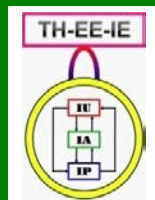
存储一秒钟视频图象所需的位数 $b$ （也称为视频码率，单位是b/s）

（对照(1.1.9)式）

$$b = L \times M \times N \times k$$

视频的数据量也可由行数 $f_y$ 、每行样本数 $f_x$ 和帧频 $f_t$ 来定义

$$b = f_x f_y f_t K$$

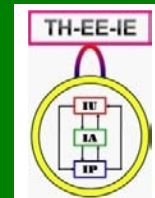


# 13.1.1 视频基础

## 6. 视频格式

表 13.1.1 一些实际应用中的视频格式

应用及格式	名称	Y尺寸/(像素)	采样格式	帧率	原始码率/Mbps
地面、有线、卫星 HDTV, MPEG-2, 20~45 Mbps	SMPTE 296 M	1280 × 720	4:2:0	24P/30P/60P	265/332/664
	SMPTE 296 M	1920 × 1080	4:2:0	24P/30P/60I	597/746/746
视频制作, MPEG-2, 15~50 Mbps	BT.601	720 × 480/576	4:4:4	60I/50I	249
	BT.601	720 × 480/576	4:2:0	60I/50I	166
高质量视频发布 (DVD, SDTV) MPEG-2, 4~8 Mbps	BT.601	720 × 480/576	4:2:0	60I/50I	124
中质量视频发布 (VCD, WWW) MPEG-1, 1.5 Mbps	SIF	352 × 240/288	4:2:0	30P/25P	30
ISDN/因特网视频会议, H.261/H.263, 128~384 kbps	CIF	352 × 288	4:2:0	30P	37
有线/无线调制解调可视电话, H.263, 20~64 kbps	QCIF	176 × 144	4:2:0	30P	9.1



## 13.1.2 彩色电视制式

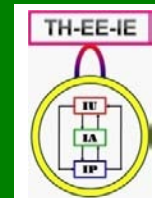
### YUV模型

在PAL制和SECAM制系统中使用

$Y$ 代表亮度分量， $U$ 和 $V$ 分别正比于色差 $B - Y$ 和 $R - Y$ ，称为色度分量

$$\begin{bmatrix} Y \\ U \\ V \end{bmatrix} = \begin{bmatrix} 0.299 & 0.587 & 0.114 \\ -0.147 & -0.289 & 0.436 \\ 0.615 & -0.515 & -0.100 \end{bmatrix} \begin{bmatrix} R' \\ G' \\ B' \end{bmatrix}$$

$$\begin{bmatrix} R' \\ G' \\ B' \end{bmatrix} = \begin{bmatrix} 1.000 & 0.000 & 1.140 \\ 1.000 & -0.395 & -0.581 \\ 1.000 & 2.032 & 0.001 \end{bmatrix} \begin{bmatrix} Y \\ U \\ V \end{bmatrix}$$



## 13.1.2 彩色电视制式

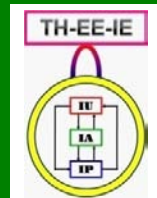
### YIQ模型

在NTSC制系统中使用

$Y$ 代表亮度分量， $I$ 和 $Q$ 分别是 $U$ 和 $V$ 分量旋转 $33^\circ$ 后的结果

$$\begin{bmatrix} Y \\ I \\ Q \end{bmatrix} = \begin{bmatrix} 0.299 & 0.587 & 0.114 \\ 0.596 & -0.275 & -0.321 \\ 0.212 & -0.523 & 0.311 \end{bmatrix} \begin{bmatrix} R' \\ G' \\ B' \end{bmatrix}$$

$$\begin{bmatrix} R' \\ G' \\ B' \end{bmatrix} = \begin{bmatrix} 1.000 & 0.956 & 0.620 \\ 1.000 & -0.272 & -0.647 \\ 1.000 & -1.108 & 1.700 \end{bmatrix} \begin{bmatrix} Y \\ I \\ Q \end{bmatrix}$$



## 13.2 运动分类和表达

### 1. 运动分类

**前景运动:**

目标在场景中的自身运动，又称为局部运动

**背景运动:**

主要由摄像机的运动所造成，帧图象内所有点整体移动，又称为全局运动或摄像机运动，一般具有整体性强、比较规律的特点

前景和背景的运动或静止可能有4种组合

## 13.2 运动分类和表达

### 2. 运动矢量场表达

- 将整幅图象分成许多固定大小的块
- 对块的运动用矢量表示
- 将每个运动矢量用（有起点）无箭头的线段（线段长度与矢量大小亦即运动速度成正比）来表示，并叠加在原始图象上



图 13.2.2 全局运动矢量叠加在原图上

## 13.2 运动分类和表达

### 3. 运动直方图表达

- 运动矢量方向直方图

仅保留运动方向信息以减少数据量

- 运动区域类型直方图

统计各个运动区域满足不同运动模型的象素

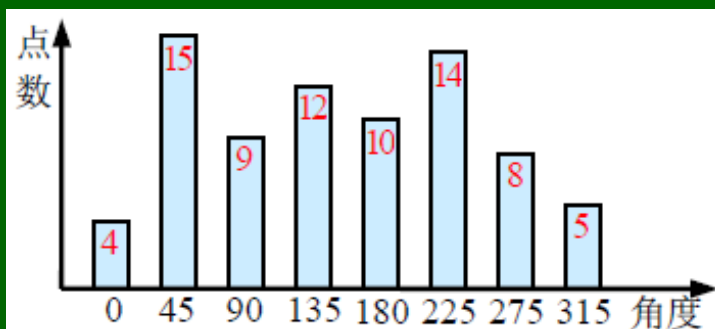


图 13.2.3 运动矢量方向直方图

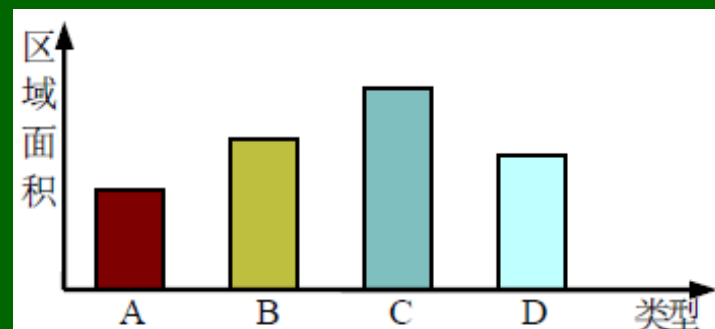


图 13.2.4 运动区域类型直方图

# 13.2 运动分类和表达

## 4. 运动轨迹表达

运动轨迹表达了目标在运动过程中的位置信息  
国际标准MPEG-7推荐了运动轨迹描述符

$$f(t) = f_p(t) + v_p(t - t_p) + a_p(t - t_p)^2 / 2$$

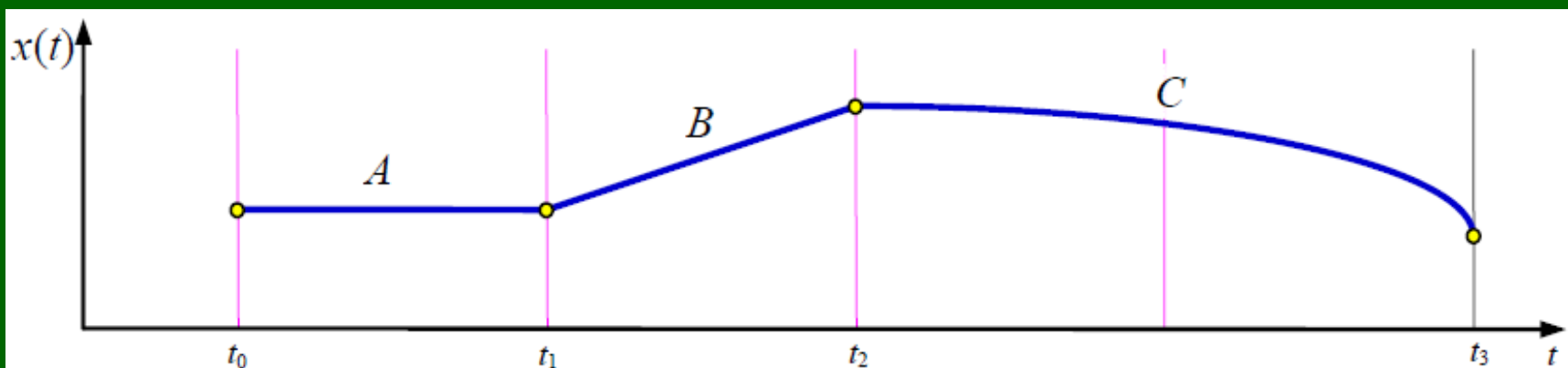
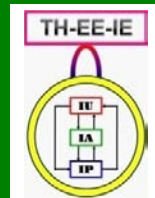


图 13.2.5 轨迹描述中关键点和插值函数示意图



## 13.2 运动分类和表达

### 4. 运动轨迹表达

由一系列关键点和一组在这些关键点间进行插值的函数构成

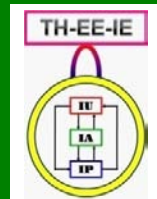
$$f(t) = f_p(t) + v_p(t - t_p) + a_p(t - t_p)^2 / 2$$

$p$ : 时间轴一点,  $v_p$ : 运动速度,  $a_p$ : 运动加速度

零次函数:  $x(t) = x(t_0)$

一次函数:  $x(t) = x(t_1) + v(t_1) \cdot (t - t_1)$

两次函数:  $x(t) = x(t_2) + v(t_2) \cdot (t - t_2) + a(t_2) \cdot (t - t_2)^2 / 2$



# 13.3 运动检测

{哪些景物有运动，运动的情况}

13.3.1 利用图象差的运动检测

13.3.2 基于模型的运动检测

13.3.3 频率域运动检测

# 13.3.1 利用图象差的运动检测

## 1. 差图象的计算

- 通过逐像素比较可直接求取前后两帧图象之间的差别
- 差图象不为零处表明该处的像素发生了移动

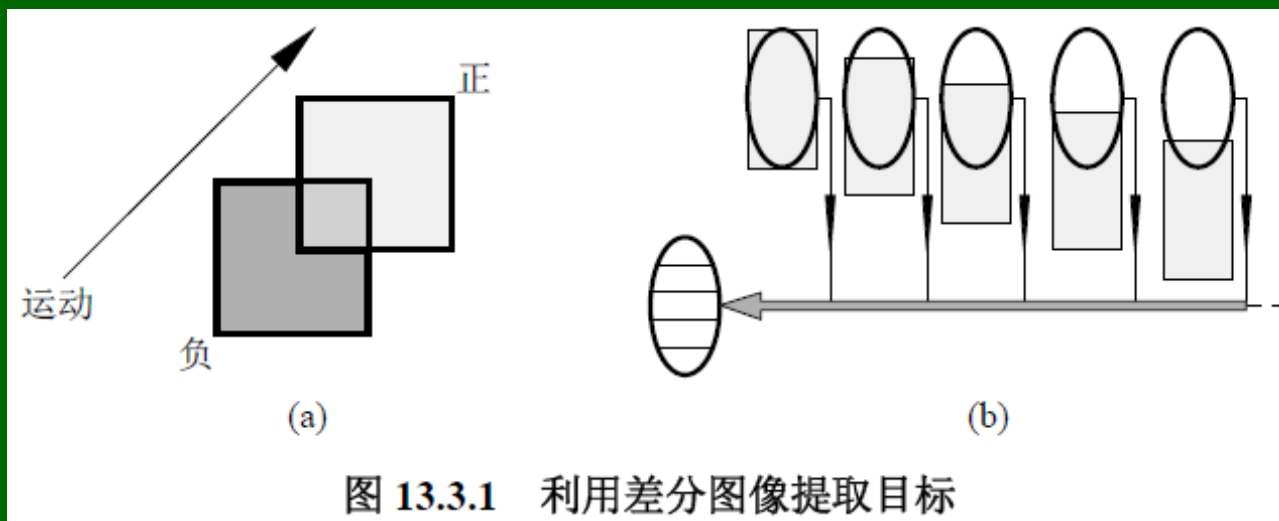


图 13.3.1 利用差分图像提取目标

算术运算

逻辑运算

# 13.3.1 利用图象差的运动检测

## 1. 差图象的计算

设在两个时刻  $t_i$  和  $t_j$  采集到两幅图象  $f(x, y, t_i)$  和  $f(x, y, t_j)$ , 则据此可得到差图象:

$$d_{ij}(x, y) = \begin{cases} 1 & \text{如 } |f(x, y, t_i) - f(x, y, t_j)| > T_g \\ 0 & \text{其他} \end{cases}$$

灰度阈值

? 差图象为1时的不同情况:

如:  $f(x, y, t_i)$  是一个运动目标的象素而

$f(x, y, t_j)$  是一个背景象素、是同一个

运动目标但不同位置的象素, ……?

# 13.3.1 利用图象差的运动检测

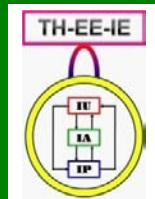
## 1. 差图象的计算

灰度差异显著性的判别:

似然比

$$\frac{\left[ \frac{\sigma_i + \sigma_j}{2} + \left( \frac{\mu_i - \mu_j}{2} \right)^2 \right]^2}{\sigma_i \cdot \sigma_j} > T_s$$

各  $\mu$  和  $\sigma$  分别是在时刻  $t_i$  和  $t_j$  采集到的两幅图象的对应观测窗口中的均值和方差,  $T_s$  是显著性阈值

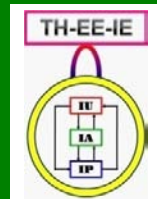


# 13.3.1 利用图象差的运动检测

## 2. 累积差图象的计算

ADI有三个功能：

- (1) ADI中相邻象素值间的梯度关系可用来估计目标移动的速度矢量，这里梯度的方向就是速度的方向，梯度的大小与速度成正比
- (2) ADI中象素的个数（值）可帮助确定运动目标的尺寸和移动的距离
- (3) ADI中包含了目标运动的全部历史资料，有助于检测慢运动和尺寸较小目标的运动



# 13.3.1 利用图象差的运动检测

## 2. 累积差图象的计算

三种ADI图象：

(1) 绝对

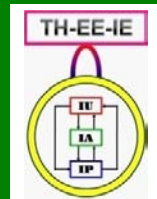
$$A_k(x, y) = \begin{cases} A_{k-1}(x, y) + 1 & \text{如果 } |f(x, y, t_1) - f(x, y, t_k)| > T_g \\ A_{k-1}(x, y) & \text{其他} \end{cases}$$

(2) 正

$$P_k(x, y) = \begin{cases} P_{k-1}(x, y) + 1 & \text{如果 } [f(x, y, t_1) - f(x, y, t_k)] > T_g \\ P_{k-1}(x, y) & \text{其他} \end{cases}$$

(3) 负

$$N_k(x, y) = \begin{cases} N_{k-1}(x, y) + 1 & \text{如果 } [f(x, y, t_1) - f(x, y, t_k)] < -T_g \\ N_{k-1}(x, y) & \text{其他} \end{cases}$$



## 13.3.2 基于模型的运动检测

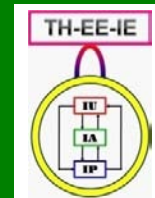
### 运动模型

考虑对摄像机建模来进行全局运动检测

全局运动通用模型 
$$\begin{cases} u = f_u(x, y, k_0, k_1, k_2, \dots) \\ v = f_v(x, y, k_0, k_1, k_2, \dots) \end{cases}$$

6参数仿射模型 
$$\begin{cases} u = k_0 x + k_1 y + k_2 \\ v = k_3 x + k_4 y + k_5 \end{cases}$$

8参数双线性模型 
$$\begin{cases} u = k_0 xy + k_1 x + k_2 y + k_3 \\ v = k_4 xy + k_5 x + k_6 y + k_7 \end{cases}$$



## 13.3.3 频率域运动检测

借助傅里叶变换把检测转到频率域

### (1) 对平移的检测

$$f(x + dx, y + dy, t_{k+1}) = f(x, y, t_k)$$

根据傅里叶变换

$$F_k(u, v) \Leftrightarrow f(x, y, t_k)$$

$$F_{k+1}(u, v) \Leftrightarrow f(x + dx, y + dy, t_{k+1})$$

借助平移性质

$$F_{k+1}(u, v) = F_k(u, v) \exp[j2\pi(udx + vdy)]$$

## 13.3.3 频率域运动检测

### (1) 对平移的检测

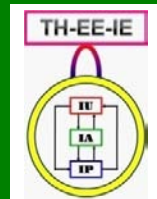
相位角之差

$$d\theta(u, v) = 2\pi(u x + v y)$$

考虑到傅里叶变换的分离性

$$dx = \frac{d\theta_x(u)}{2\pi u} \quad dy = \frac{d\theta_y(v)}{2\pi v}$$

$d\theta_x(u)$ 和 $d\theta_y(v)$ 分别为  $f(x, y, t_k)$ 和  $f(x, y, t_{k+1})$ 在  $X$  轴上和  $Y$  轴上投影的傅里叶变换的相位角之差



## 13.3.3 频率域运动检测

### (2) 对旋转的检测

借助傅里叶变换功率谱进行

图象中的直线模式在傅里叶功率谱中对应过频谱原点的直线模式

$$P_k(u, v) = |F_k(u, v)|^2 \quad P_{k+1}(u, v) = |F_{k+1}(u, v)|^2$$

在 $P_k(u, v)$ 和 $P_{k+1}(u, v)$ 中分别搜索对应的过原点的直线模式，再计算直线间的夹角得到旋转角

## 13.3.3 频率域运动检测

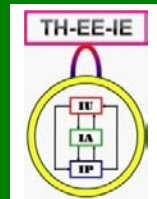
### (3) 对尺度变化的检测

图象空间的尺度变化对应傅里叶变换域中频率高低的变化

- 1) 在 $P_k(u, v)$ 和 $P_{k+1}(u, v)$ 中分别搜索方向相同的直线模式 $L_k$ 和 $L_{k+1}$
- 2) 将 $L_k$ 投影到 $P_{k+1}(u, v)$ 上, 得到 $L'_k$

$$S = \frac{|L'_k|}{|L_{k+1}|}$$

如果 $S < 1$ , 表明目标图象尺寸增加了 $S$ 倍



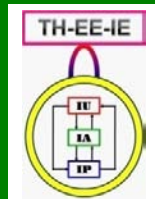
## 13.4 视频滤波

{滤波在这里代表多种处理过程和手段  
分为空域滤波器（仅考虑帧内）和时空滤波器（还考虑帧间）两类}

13.4.1 基于运动检测的滤波

13.4.2 基于运动补偿的滤波

13.4.3 消除匀速直线运动模糊



# 13.4.1 基于运动检测的滤波

## 1. 直接滤波

### 帧平均技术

不影响帧图象空间分辨率的情况下消除噪声

沿时间轴的1-D滤波，即进行时域平均，在场景中突然的随时间变化处会导致时域模糊

运动适应滤波，它利用相邻帧间的运动信息来确定滤波方向，将由于运动造成的沿时间轴变化与噪声导致的变化区别开来

## 13.4.1 基于运动检测的滤波

### 2. 利用运动检测信息

#### ➤ 有限脉冲响应 (FIR) 滤波器

$$\hat{f}(x, y, t) = (1 - \beta)g(x, y, t) + \beta g(x, y, t - 1)$$

具有有限的噪声消除能力

#### ➤ 无限脉冲响应 (IIR) 滤波器

$$\hat{f}(x, y, t) = (1 - \beta)g(x, y, t) + \beta \hat{f}(x, y, t - 1)$$

有更强的噪声消除能力

$$\beta = \max \left\{ 0, \frac{1}{2} - \alpha |g(x, y, t) - g(x, y, t - 1)| \right\}$$

{P.316}

# 13.4.2 基于运动补偿的滤波

象素灰度在确定的运动轨迹上保持不变

## 1. 运动轨迹和时空频谱

运动轨迹可用一个矢量函数  $M(t; x, y, t_0)$  来描述

$$s(x', y', t') = \frac{dM}{dt}(t; x, y, t_0) \Big|_{t=t'}$$

帧间灰度变化

$$f_M(x, y, t) = f_M(x - s_x t, y - s_y t, 0) \approx f_0(x - s_x t, y - s_y t)$$

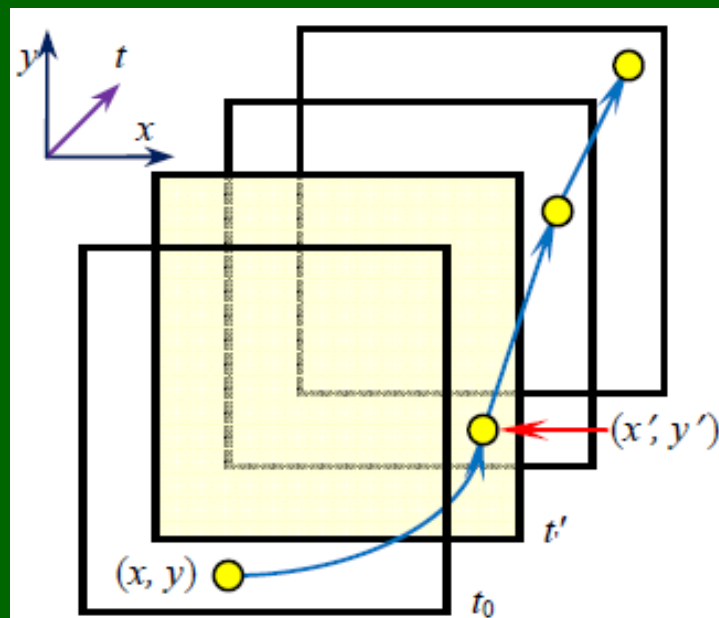


图 13.4.1 运动轨迹

# 13.4.2 基于运动补偿的滤波

## 1. 运动轨迹和时空频谱

时空函数的傅里叶变换

$$F_M(u, v, w) = \iiint f_M(x, y, t) \exp[-j2\pi(ux + vy + wt)] dx dy dt$$

$$F_M(u, v, w) = \iiint f_0(x - s_x t, y - s_y t) \exp[-j2\pi(ux + vy + wt)] dx dy dt$$

$$= F_0(u, v) \cdot \delta(us_x + vs_y + w)$$

时空频谱的定义域

$$us_x + vs_y + w = 0$$

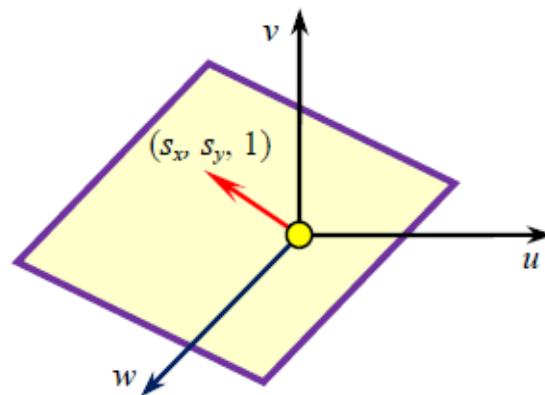


图 13.4.2 全局匀速运动的定义域

# 13.4.2 基于运动补偿的滤波

## 2. 沿运动轨迹的滤波

脉冲响应  $h(x, y, t) = h_1(t)\delta(x - s_x t, y - s_y t)$

$$H(u, v, w) = \iiint h_1(t)\delta(x - s_x t, y - s_y t) \exp[-j2\pi(ux + vy + wt)] dx dy dt$$

$$= \int h_1(t) \exp[-j2\pi(us_x + vs_y + w)t] dt = H_1(us_x + vs_y + w)$$

没有运动补偿时的纯时间滤波情况

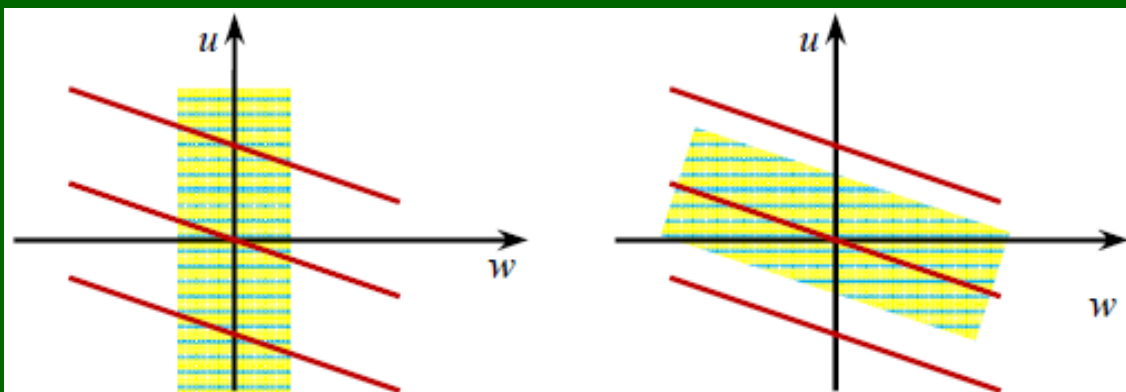


图 13.4.3 运动补偿滤波器的频率响应的定义域

有运动补偿且正确时的情况

## 13.4.2 基于运动补偿的滤波

### 3. 运动补偿滤波器

在时空域的采样序列中对运动轨迹估计  
使用 $N$ 帧图来对第 $k$ 帧图进行滤波

在第 $k$ 帧的 $(x, y)$ 处估计离散运动轨迹 $M(l; x, y, t)$ ,  
它给出第 $k$ 帧图中 $(x, y)$ 处像素对应的第 $l$ 帧图中的坐标

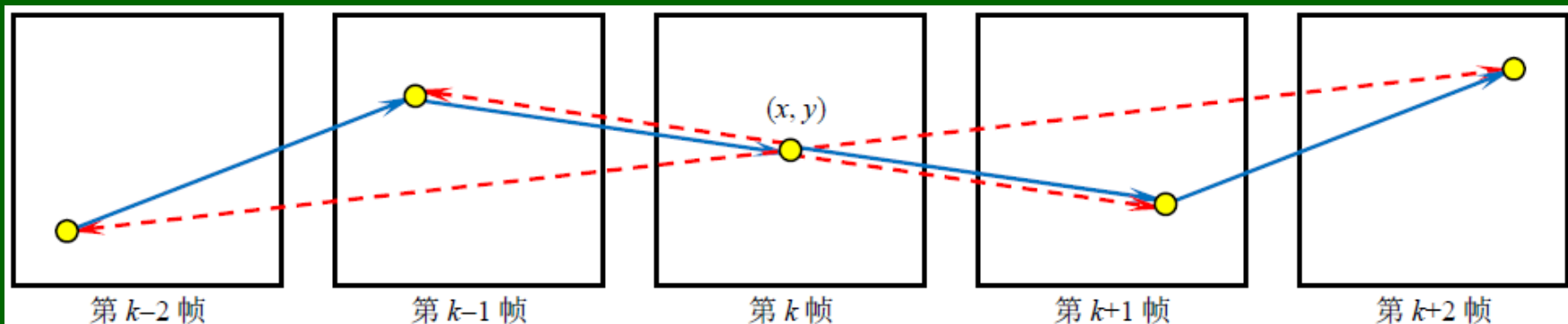


图 13.4.4 运动轨迹估计

## 13.4.2 基于运动补偿的滤波

### 4. 时空自适应线性最小均方误差滤波

在 $(x, y, t)$ 处的像素估计值为

$$\hat{f}(x, y, t) = \frac{\sigma_f^2(x, y, t)}{\sigma_f^2(x, y, t) + \sigma_n^2(x, y, t)} [g(x, y, t) - \mu_g(x, y, t)] + \mu_f(x, y, t)$$

考虑平稳独立噪声

(1) 时空信号的方差远小于噪声方差时， $\sigma_f^2(x, y, t) \approx 0$ ，估计值逼近时空均值， $\mu_g = \mu_f$

(2) 时空信号的方差远大于噪声方差时， $\sigma_f^2(x, y, t) \gg \sigma_n^2(x, y, t)$ ，估计值逼近噪声图象值 $g$

## 13.4.2 基于运动补偿的滤波

### 5. 自适应加权平均滤波

通过优化一个准则函数来确定权重，其值依赖于对运动估计的准确性和围绕运动轨迹区域的空间均匀性

$$\hat{f}(x, y, t) = \sum_{(r, c, k) \in (x, y, t)} w(r, c, k) g(r, c, k)$$

$$w(r, c, k) = \frac{K(x, y, t)}{1 + \alpha \max \left\{ \varepsilon^2, [g(x, y, t) - g(r, c, k)]^2 \right\}} \quad \{\text{P.319}\}$$

$$K(r, c, k) = \left\{ \sum_{(r, c, k) \in (x, y, t)} \frac{1}{1 + \alpha \max \left\{ \varepsilon^2, [g(x, y, t) - g(r, c, k)]^2 \right\}} \right\}^{-1}$$

# 13.4.3 消除匀速直线运动模糊

## 匀速直线运动

**T:** 采集时间长度

$x$ 方向运动分量

$y$ 方向运动分量

$$g(x, y) = \int_0^T f[x - x_0(t), y - y_0(t)] dt$$

$$G(u, v) = \int_{-\infty}^{\infty} \int_{-\infty}^{\infty} g(x, y) \exp[-j2\pi(ux + vy)] dx dy$$

$$= \int_0^T \left[ \int_{-\infty}^{\infty} \int_{-\infty}^{\infty} f[x - x_0(t), y - y_0(t)] \exp[-j2\pi(ux + vy)] dx dy \right] dt$$

$$= F(u, v) \int_0^T \exp \{ -j2\pi[u x_0(t) + v y_0(t)] \} dt = H(u, v) F(u, v)$$

## 13.4.3 消除匀速直线运动模糊

### 匀速直线运动

定义滤波函数

$$H(u, v) = \int_0^T \exp\{-j2\pi[ux_0(t) + vy_0(t)]\} dt$$

适合使用逆滤波方法

$$G(u, v) = H(u, v)F(u, v)$$

当景物在平面上的匀速运动沿直线进行时， $x_0(t)$ 和 $y_0(t)$ 均是 $t$ 的线性函数（且可从模糊视频中估计出来），式(13.4.21)中的积分可解析计算，由运动造成的模糊就可以消除

## 13.4.3 消除匀速直线运动模糊

### 从模糊图象恢复示例

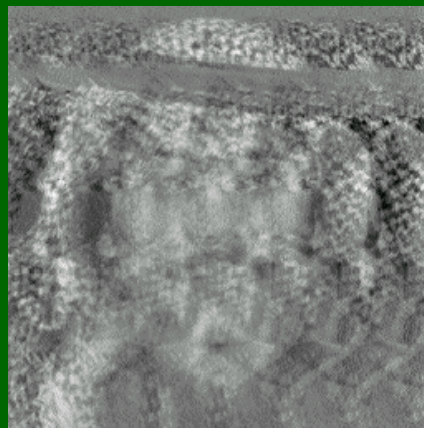
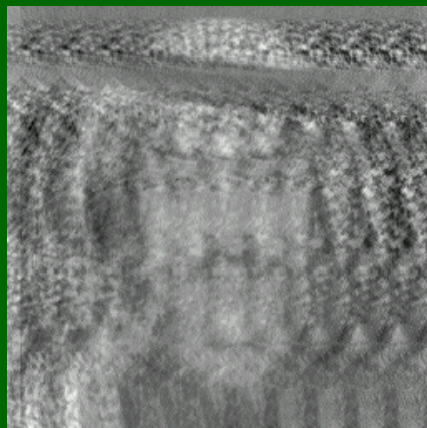
模糊：摄像机与被摄物体之间存在  
相对匀速直线运动

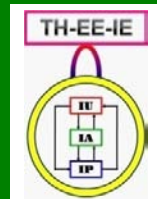
模糊图

移动24个像素

移动40个像素

移动32个像素





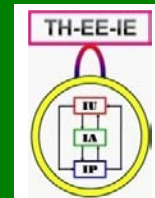
## 13.5 视频预测编码

在视频中，不仅在帧内可使用预测编码方法（如同静止图象），而且在帧间也可使用预测编码方法，即利用前后帧之间的相关性

### 1. 预测基础

采用基于子图象（视频中一般称为宏块）的正交变换编码方法进行帧内编码，这样得到的编码帧称为独立帧（I-frame）

独立帧在编解码中都不依赖于其他帧，也适合于作为进行预测编码的起始帧



# 13.5 视频预测编码

## 2. □ 单向时间预测

基于独立帧，可对其相邻帧进行预测编码  
线性预测

$$f(x, y, t) = f(x, y, t - 1)$$

运动补偿预测

$$f_p(x, y, t) = f(x + dx, y + dy, t - 1)$$

参考帧必须在编码帧之前被编码并重建，而编码帧要借助预测帧进行编码

# 13.5 视频预测编码

## 2. 单向时间预测

- (1) I帧：每组的第一帧， $\Rightarrow$  帧内编码
- (2) P帧：同组的剩余帧，对它们进行预测编码， $\Rightarrow$  帧间编码

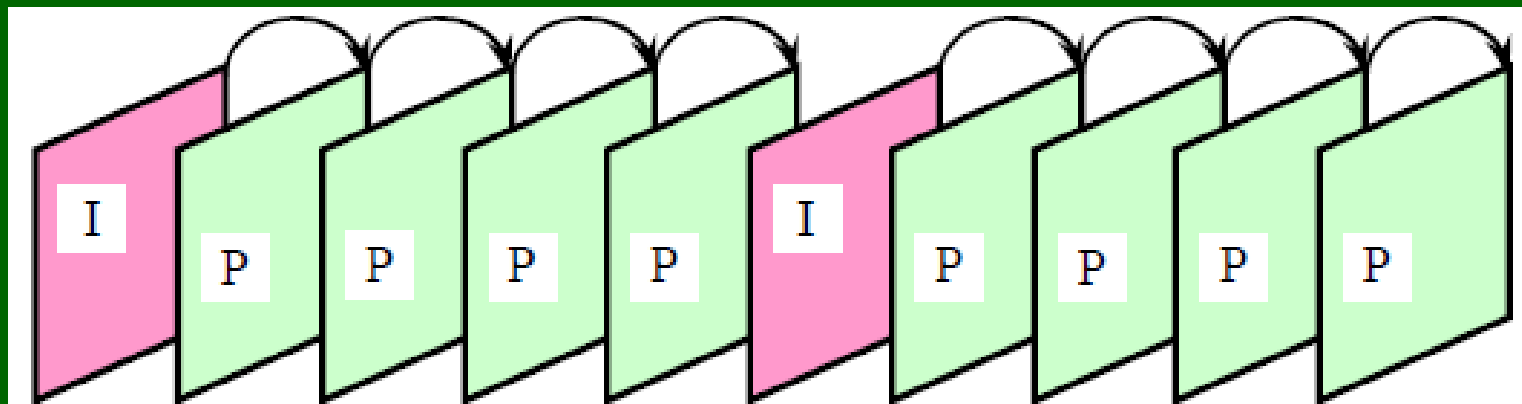
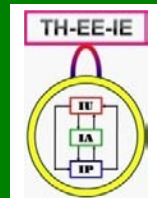


图 13.5.1 单向时间预测序列示意图



## 13.5 视频预测编码

### 3. □ 双向时间预测

当前帧内的一个像素值可结合其前一帧的像素和后一帧的像素来预测

$$f_p(x, y, t) = af(x + d_ax, y + d_ay, t - 1) + bf(x - d_bx, y - d_by, t + 1)$$

用 $f(x, y, t-1)$ 来预测 $f(x, y, t)$ 称为前向预测

$(d_ax, d_ay)$ 表示从 $t-1$ 到 $t$ 的运动矢量

用 $f(x, y, t+1)$ 来预测 $f(x, y, t)$ 称为后向预测

$(d_bx, d_by)$ 表示从 $t$ 到 $t+1$ 的运动矢量

# 13.5 视频预测编码

## 3. 双向时间预测

- (1) I帧：仅进行帧内编码
- (2) P帧：参照前一幅I帧或P帧进行帧间编码
- (3) B帧：也称双向预测帧，压缩率最大

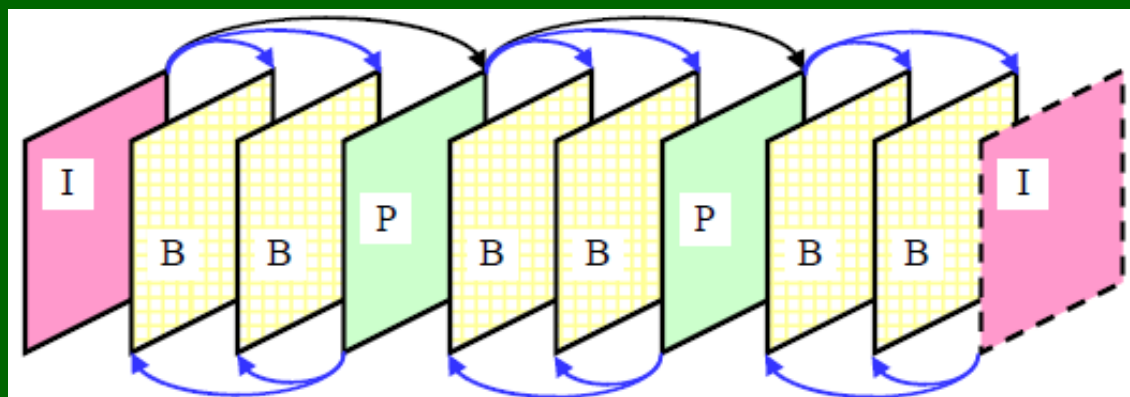


图 13.5.2 双向时间预测序列示意图



# 联系信息



- 👉 通信地址：北京清华大学电子工程系
- 👉 邮政编码：100084
- 👉 办公地址：清华大学，罗姆楼，6层305室
- 👉 办公电话：(010) 62798540
- 👉 传真号码：(010) 62770317
- 👉 电子邮件：[zhang-yj@tsinghua.edu.cn](mailto:zhang-yj@tsinghua.edu.cn)
- 👉 个人主页：[oa.ee.tsinghua.edu.cn/~zhangyujin/](http://oa.ee.tsinghua.edu.cn/~zhangyujin/)